

Adam Ślusarczyk

## Sterowanie i synteza regulatora minimalnocoszowego dla oscylacyjnych systemów liniowych drugiego rzędu

### 1. Wprowadzenie

Problem sterowania minimalnocoszowego polega na określeniu sterowania, które w najkrótszym czasie realizuje dany cel. Synteza regulatora czasooptymalnego w układzie oscylacyjnym drugiego rzędu była wielokrotnie dyskutowana w literaturze. Będziemy rozważać przypadek klasyczny (system liniowy stacjonarny), gdy dynamika obiektu sterowanego opisana jest równaniem

$$\ddot{x}(t) + a_1 \dot{x}(t) + a_2 x(t) = u(t) \quad (1)$$

gdzie stałe  $a_1, a_2 \in \mathbf{R}$  spełniają nierówność  $a_1^2 - 4a_2 < 0$ , a obszar sterowania  $U$ :  $|u(t)| \leq 1$ .

Problem minimalnocoszowy obiektu sterowanego (1) będzie rozumiany jako przeprowadzenie systemu z dowolnego stanu początkowego  $\mathbf{x}^0 = (x_0, \dot{x}_0) \in \mathbf{R}^2$  (w chwili  $t_0$ ) do stanu końcowego  $\mathbf{x}^k = (x_k, \dot{x}_k) \in \mathbf{R}^2$  (w chwili  $t_k$ ) w minimalnym czasie  $T = t_k - t_0 < \infty$ . Dla prostoty rozważań zakładamy, że stan końcowy jest dany i równy  $\mathbf{0} = (0, 0)$ .

Przyjmijmy  $a_1 = 2a$ ,  $a_2 = \omega^2$  i zapiszmy dane równanie (1) w znormalizowanej postaci

$$\ddot{x} + 2a\dot{x} + \omega^2 x = u \quad (2)$$

gdzie  $\omega > 0$ ,  $a^2 < \omega^2$ .

System (2) jest równoważny systemowi (3) w postaci kanonicznej

$$\begin{bmatrix} \dot{x}_1 \\ \dot{x}_2 \end{bmatrix} = \begin{bmatrix} 0 & 1 \\ -\omega^2 & -2a \end{bmatrix} \begin{bmatrix} x_1 \\ x_2 \end{bmatrix} + \begin{bmatrix} 0 \\ u \end{bmatrix}, \quad \begin{bmatrix} x_1 \\ x_2 \end{bmatrix} = \begin{bmatrix} x \\ \dot{x} \end{bmatrix} \quad (3)$$

gdzie  $x_1, x_2$  to nowe zmienne.

---

\* Katedra Automatyki, Akademia Górnictwo-Hutnicza w Krakowie

Transformujemy system  $X$  (3) do systemu podobnego  $Y$ :

$$\begin{bmatrix} \dot{y}_1 \\ \dot{y}_2 \end{bmatrix} = \begin{bmatrix} -a & -b \\ b & -a \end{bmatrix} \begin{bmatrix} y_1 \\ y_2 \end{bmatrix} + \begin{bmatrix} 0 \\ -\frac{1}{b}u \end{bmatrix}, \quad \begin{bmatrix} x_1 \\ x_2 \end{bmatrix} = \begin{bmatrix} 1 & 0 \\ -a & -b \end{bmatrix} \begin{bmatrix} y_1 \\ y_2 \end{bmatrix} \quad (4)$$

gdzie  $y_1, y_2$  to nowe zmienne i  $b = \sqrt{\omega^2 - a^2} > 0$ .

Procesy optymalne w systemach  $X$  i  $Y$  odpowiadają sobie jednoznacznie, przy czym macierz stanu dla  $Y$  (4) jest prostszej postaci.

Celem uproszczenia zapisu operacji obrotu, a przede wszystkim zwiększenia przejrzystości niektórych wzorów, będziemy dalej utożsamiać elementy  $\mathbf{y} = (y_1, y_2)$  przestrzeni  $\mathbf{R}^2$  z punktami  $\mathbf{y} = y_1 + jy_2$  na płaszczyźnie zespolonej  $\mathbf{C}$ . Zatem równanie (4) przyjmie postać

$$\dot{\mathbf{y}} = (-a + jb)\mathbf{y} - j\frac{1}{b}u \quad (5)$$

Sterowanie optymalne  $\hat{u}$  przyjmuje wartości na brzegu  $\partial U$  obszaru dopuszczalnego  $U$ . Dla  $u = \pm 1$  odcinek trajektorii układu  $Y$  (5) jest odcinkiem trajektorii układu  $Y_{\pm}$

$$\dot{\mathbf{y}} = (-a + jb)\mathbf{y} \mp j\frac{1}{b} \quad (6)$$

gdzie bierzemy odpowiednio albo górne, albo dolne znaki. Po przekształceniu (6) do postaci:

$$\dot{\mathbf{y}} = (-a + jb)(\mathbf{y} - \mathbf{h}_{\pm}), \quad \mathbf{h}_{\pm} = \pm \frac{1 - ja/b}{a^2 + b^2} \quad (7)$$

można łatwo wywnioskować, że rozwiązaniem ogólnym równania (6) jest:

$$\mathbf{y} = \mathbf{h}_{\pm} + Ce^{\frac{-a}{b}\varphi} e^{j\varphi}, \quad \varphi = bt + \gamma \quad (8)$$

gdzie  $C$  i  $\gamma$  – dowolne stałe.

Zatem dla  $u = \pm 1$  trajektorie układu  $Y$  (5) są spiralami logarytmicznymi o biegunie w punkcie  $\mathbf{h}_{\pm}$ , przy czym dla  $a = 0$  redukują się do okręgów.

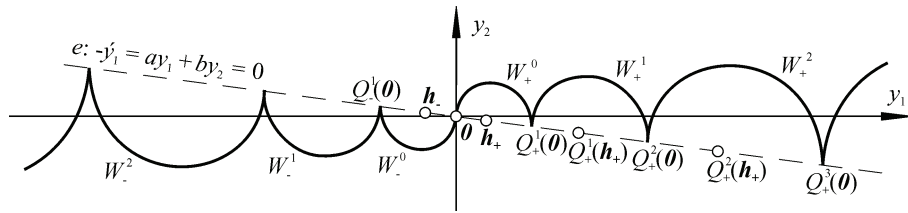
Dalej będziemy zakładać, że parametr  $a \neq 0$ , a w szczególnym przypadku systemu bez tłumienia, tj. gdy  $a = 0$ , prezentowane wzory należy rozumieć w sensie granicznym  $a \rightarrow 0$ .

## 2. Sterowanie optymalne w systemie zamkniętym

W systemie  $Y$  opisanym równaniami (4) lub (5) sterowanie optymalne  $\hat{u}$  jest funkcją stanu  $\mathbf{y}$ . Szukamy takiej zależności sterowania od stanu  $\hat{u}(\mathbf{y})$ , która zapewni realizację sterowania optymalnego w układzie zamkniętym. Synteza regulatora ze sprzężeniem zwrotnym  $\hat{u}(\mathbf{y})$  uzyskana jest na drodze posuwania się wstecz, to jest od stanu końcowego do początkowego, czyli przeciwnie do kierunku biegu czasu wzdłuż trajektorii rozwiązania, i przez zaznaczenie, gdzie  $\hat{u}$  zmienia znak na płaszczyźnie stanów [7]. Miejsce geometryczne punktów przełączeń na płaszczyźnie stanów tworzy tak zwaną **krzywą przełączania**.

## 2.1. Krzywa przełączania

Krzywa przełączania  $W$  składa się z punktów, w których optymalne trajektorie przełącza się z rodziną rozwiązań  $Y_+$  do  $Y_-$  (6) i na odwrotnie. Krzywą przełączeń (rys. 1) wyznaczamy, idąc od punktu końcowego  $\mathbf{0}$  w kierunku przeciwnym do biegu czasu [2, 7, 15].



Rys. 1. Krzywa przełączania  $W$  ( $a > 0$ )

Niech  $W_{\pm}^0$  będzie łukiem standardowego rozwiązania systemu  $Y_{\pm}$  zbiegającego do  $\mathbf{0}$

$$W_{\pm}^0 = \{ \mathbf{y} = \mathbf{h}_{\pm} (1 + e^{\frac{a}{b}(\pi - \varphi)} e^{j\varphi}) : 0 \leq \varphi < \pi \} \quad (9)$$

gdzie  $\mathbf{h}_{\pm}$  określone jest zależnością (7). Oznaczmy przez  $Q_{\pm}$  jednokładność

$$Q_{\pm}(\mathbf{y}) = e^{\frac{a}{b}\pi} \mathbf{y} + (1 + e^{\frac{a}{b}\pi}) \mathbf{h}_{\pm} = e^{\frac{a}{b}\pi} (\mathbf{y} + \operatorname{ctgh} \frac{a\pi}{2b} \mathbf{h}_{\pm}) - \operatorname{ctgh} \frac{a\pi}{2b} \mathbf{h}_{\pm} \quad (10)$$

Wówczas krzywą przełączania  $W$  możemy zapisać [15] jako sumę mnogościową:

$$W = W_+ \cup W_- \cup \{\mathbf{0}\}, \quad W_{\pm} = \bigcup_{n=0}^{\infty} W_{\pm}^n, \quad W_{\pm}^n = Q_{\pm}^n(W_{\pm}^0) \quad (n = 1, 2, \dots) \quad (11)$$

gdzie zbiory  $W_{\pm}^0$  są zdefiniowane przez (9) oraz przekształcenie

$$Q_{\pm}^n(\mathbf{y}) = e^{\frac{a}{b}\pi n} (\mathbf{y} + \operatorname{ctgh} \frac{a\pi}{2b} \mathbf{h}_{\pm}) - \operatorname{ctgh} \frac{a\pi}{2b} \mathbf{h}_{\pm} \quad (12)$$

jest  $n$ -krotnym złożeniem przekształcenia  $Q_{\pm}$  (10), przy czym  $Q_{\pm}^0 = I$  ( $I$  – identyczność).

Zaznaczmy, że w przypadku systemów niestabilnych obszar  $D$  na płaszczyźnie stanów, w którym synteza jest możliwa do uzyskania, jest ograniczony.

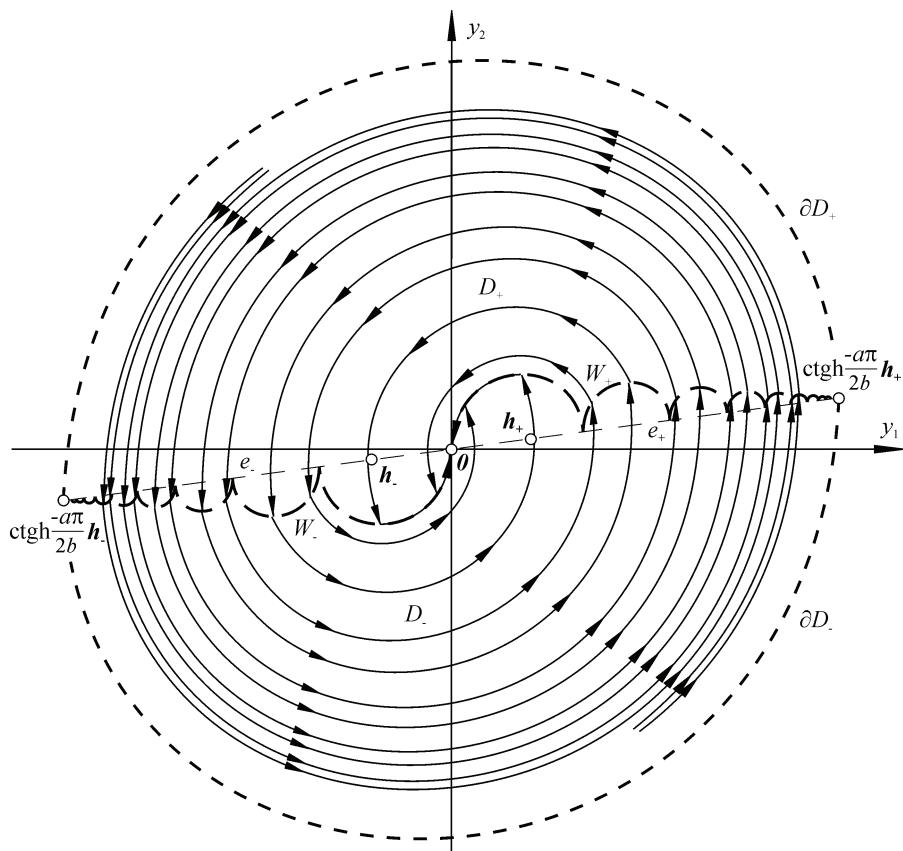
Krzywa przełączania  $W$  jest dla  $a = 0$  jednowartościowa na całej osi  $y_1$ , a dla  $a < 0$  – w przedziale

$$|y_1| < \operatorname{Re}[\lim_{n \rightarrow \infty} Q_+^n(\mathbf{0})] = \operatorname{Re}[-\operatorname{ctgh} \frac{a\pi}{2b} h_+] = \frac{1}{a^2 + b^2} \operatorname{ctgh} \frac{-a\pi}{2b} \quad (13)$$

Korzystając z zależności (9)–(12), można zapisać funkcję  $y_2 = W(y_1)$  w postaci uwikłanej [15].

## 2.2. Płaszczyzna fazowa

Synteza regulatora optymalnego polega na wyznaczeniu sterowania optymalnego w funkcji stanu  $\hat{u}(y)$ . Dla  $a = 0$  synteza ta może być przeprowadzona na całej płaszczyźnie  $D = \mathbb{R}^2(C)$ .



Rys. 2. Rodzina trajektorii optymalnych na płaszczyźnie fazowej  $D$  ( $a < 0$ )

Jeżeli  $a < 0$ , to rozmiary łuków  $W_{\pm}^0, W_{\pm}^1, W_{\pm}^2, \dots$  maleją w postępie geometrycznym i w konsekwencji synteza sterowania optymalnego może być przeprowadzona tylko w ograniczonym wypukłym wycinku płaszczyzny  $D$  (rys. 2), którego brzeg  $\partial D$  jest sumą łuków (8):

$$\partial D = \partial D_+ \cup \partial D_-, \quad \partial D_{\pm} = \{y = \mathbf{h}_{\pm}(1 + \frac{2}{e^{\frac{-a}{b}\pi}} e^{\frac{-a}{b}\varphi} e^{j\varphi}) : 0 \leq \varphi < \pi\} \quad (14)$$

Dla stanów  $y \in \partial D$  (14) system  $Y$  (5) przy sterowaniu optymalnym  $\hat{u}(\partial D_{\pm}) = \pm 1$  jest warunkowo stabilny i oscyluje z okresem  $T = 2\pi/b$ .

Płaszczyznę fazową  $D$  możemy zapisać jako sumę mnogościową:

$$\begin{aligned} D &= D^+ \cup D^- \cup h^+ \cup h^- \cup \{\mathbf{0}\} \\ D^{\pm} &= \{y = \mathbf{h}_{\pm}(z+1) : |z| e^{\frac{a}{b} \arg z} + 1 < \operatorname{ctgh} \frac{-a\pi}{2b}, 0 \leq \arg z < \pi\} \quad (15) \\ h^{\pm} &= \{\lambda \mathbf{h}_{\pm} : 0 < \lambda \leq 1\} \end{aligned}$$

### 2.3. Synteza regulatora optymalnego

Niech obszary  $D_+$  i  $D_-$  będą zbiorami wynikającymi z podziału przez krzywą przełączeń  $W$  (11) płaszczyzny fazowej  $D$  (15):

$$D = D_+ \cup D_- \cup W, \quad D_{\pm} = \{y = y_1 + jy_2 \in D : \pm y_2 > \pm W(y_1)\} \quad (16)$$

W przypadku gdy  $a < 0$ , obszary  $D_+$  i  $D_-$  ograniczone są krzywą  $W$  (11) oraz odpowiednio łukami  $\partial D^+$  i  $\partial D^-$  (14) (rys. 2). Do każdego stanu należącego albo do gałęzi  $W_{\pm}$  krzywej przełączeń, albo do zbioru  $D_{\pm}$ , przyporządkowane jest sterowanie optymalne  $\hat{u}(D_{\pm} \cup W_{\pm}) = \pm 1$  i prawo sterowania optymalnego możemy zapisać w postaci

$$\hat{u}(y = y_1 + jy_2) = \begin{cases} \operatorname{sgn}[y_2 - W(y_1)] & y \in D \setminus (W_+ \cup W_-) \\ \pm 1 & y \in W_{\pm} \end{cases} \quad (17)$$

Zauważmy, że wzór (17) dla  $y = \mathbf{0}$  daje prawidłową wartość  $\hat{u}(\mathbf{0}) = 0$ .

Niech  $\varepsilon$  oznacza wartość ( $\pm 1$ ) sterowania optymalnego  $\check{u}$  w chwili początkowej  $t_0$  lub sam znak ( $\pm$ ) w przypadku indeksowania (na przykład  $W_{-\varepsilon}$  dla  $\varepsilon = -1$  to naturalnie  $W_+$ ). Rozważmy punkt  $y^e = y(t_e)$  odpowiadający ekstremum funkcji  $y_1$  ( $y_1 = x$ ) w przedziale czasu  $-\pi/b < t - t_0 = \pi/b$  (rys. 3). Korzystając z funkcji  $\hat{u}$  (17), możemy wyznaczyć znak

$$\varepsilon = \hat{u}(y^0) \quad (18)$$

Jeżeli  $\varepsilon = -1$ , to w chwili  $t_e$  mamy maksimum, a jeżeli  $\varepsilon = +1$  – minimum funkcji  $y_1$ . Punkt  $y^e$  jest punktem przecięcia trajektorii układu  $Y_\varepsilon$  (6) z półprostą  $e_{-\varepsilon}$  wyznaczoną przez  $\mathbf{h}_{-\varepsilon}$ :

$$\begin{aligned} \mathbf{y}^e &= \mathbf{y}(t_0^+ - \pi/b) \mathbf{y}(t_0 + \pi/b) \cap e_{-\varepsilon}, \quad \varepsilon = \hat{u}(\mathbf{y}^0) \\ \mathbf{y}^0 \mathbf{y}^1 &\subset \mathbf{y}(t_0^+ - \pi/b) \mathbf{y}(t_0 + \pi/b) = \{\mathbf{y} = \mathbf{h}_\varepsilon + (\mathbf{y}^0 - \mathbf{h}_\varepsilon) e^{\frac{-a}{b}v} e^{j\omega} : -\pi < v \leq \pi\} \quad (19) \\ e_{-\varepsilon} &= \{\mathbf{y} = \lambda \mathbf{h}_{-\varepsilon} : 0 \leq \lambda < \infty\} \end{aligned}$$

Stąd dostajemy następujący wzór określający wartość (nieujemną) ilorazu  $\mathbf{y}^e/\mathbf{h}_{-\varepsilon}$ :

$$\begin{aligned} \frac{\mathbf{y}^e}{\mathbf{h}_{-\varepsilon}} &= |z^0| e^{\frac{-a}{b} \arg \frac{1}{z^0} - 1}, \\ z^0 &= 1 + \frac{\mathbf{y}^0}{\mathbf{h}_{-\varepsilon}}, \quad \varepsilon = \hat{u}(\mathbf{y}^0) \quad (20) \end{aligned}$$

gdzie  $\arg(z)$  oznacza argument główny liczby  $z \in \mathbf{C}$  z przedziału  $(-\pi, \pi]$ .

Wykorzystując wyprowadzoną zależność liczby  $\mathbf{y}^e/\mathbf{h}_{-\varepsilon}$  od  $\mathbf{y}^0$  (20), możemy stwierdzić, że w przypadku  $a < 0$ , jeśli  $\mathbf{y}^0 \in D_\varepsilon \cup W_\varepsilon$ , gdzie  $\varepsilon$  określone jest równaniem (18), to zachodzi nierówność

$$\frac{\mathbf{y}^e}{\mathbf{h}_{-\varepsilon}} < \lim_{n \rightarrow \infty} \frac{Q_{-\varepsilon}^n(\mathbf{0})}{\mathbf{h}_{-\varepsilon}} = \operatorname{ctgh} \frac{-a\pi}{2b} \quad (21)$$

Warto też wspomnieć, że możemy łatwo wyznaczyć liczbę przełączeń  $(k-1)$  w zależności od warunków początkowych  $\mathbf{y}^0 \in D$  z następującej nierówności podwójnej [15]

$$\frac{Q_{-\varepsilon}^{k-2}(\mathbf{0})}{\mathbf{h}_{-\varepsilon}} < \frac{\mathbf{y}^e}{\mathbf{h}_{-\varepsilon}} \leq \frac{Q_{-\varepsilon}^{k-1}(\mathbf{0})}{\mathbf{h}_{-\varepsilon}} \quad (22)$$

### 3. Sterowanie optymalne w systemie otwartym

Wyznaczanie sterowania optymalnego w systemie otwartym sprowadza się do znalezienia takiego sterowania dopuszczalnego  $\tilde{u}$ , będącego funkcją czasu  $\tilde{u}(t)$ , że funkcjonał jakości, tu czas  $t_k$ , osiąga przy nim wartość minimalną. W porównaniu z zadaniem sterowania optymalnego w systemie regulacji zamkniętej, zadanie sterowania optymalnego w systemie otwartym jest rozwiązywane przy danych ustalonych warunkach początkowych.

Sterowanie optymalne  $\tilde{u}$  może w przedziale  $t_0 < t < t_k$  zmienić znak skońzoną liczbę  $(k-1)$  razy i wobec tego ma postać sterowania przekaźnikowego

$$\begin{aligned}\tilde{u}(t) = \varepsilon [1(t-t_0) - 2 \cdot 1(t-t_1) + 2 \cdot 1(t-t_2) - \dots + (-1)^{k-1} 2 \cdot 1(t-t_{k-1}) + \\ + (-1)^k 1(t-t_k)]\end{aligned}\quad (23)$$

gdzie:

$t_1, t_2, \dots, t_{k-1}$  – kolejne chwile przełączania,

$\varepsilon$  – znak sterowania optymalnego  $\tilde{u}$  w chwili  $t_0$ ,

$1(t)$  – funkcja skoku jednostkowego:  $1(t) = 1$  dla  $t = 0$  i  $1(t) = 0$  dla  $t < 0$ .

W celu określenia optymalnego sterowania należy zatem wyznaczyć znak  $\varepsilon (\pm)$ , czasy przełączeń  $t_1, t_2, \dots, t_{k-1}$  i minimalny czas końcowy sterowania  $t_k$ .

Wyznaczenie znaku  $\varepsilon$ , czyli początkowej wartości sterowania  $\tilde{u}(t_0)$ , sprowadza się do omówionej syntezy regulatora optymalnego (optymalnego układu sterowania). Dla każdego systemu  $Y(5)$  o różnych warunkach początkowych  $y^0$  należących do obszaru sterowania  $D$ , istnieje dokładnie jedno sterowanie optymalne  $\hat{u}$  (17), które steruje  $y^0$  do początku układu  $\mathbf{0}$  i w konsekwencji znak  $\hat{u}$  może być określony równością (18).

### 3.1. Trajektoria optymalna

Załóżmy, że warunki początkowe  $y^0 = y(t_0)$  wymuszają początkowe sterowanie optymalne  $u(t_0)$  równe  $\varepsilon$  (18).

Niech  $k$  oznacza liczbę przedziałów ciągłości optymalnego sterowania potrzebną do przeprowadzenia układu z dowolnego niezerowego stanu  $y^0$  do stanu końcowego  $y^k = \mathbf{0}$ . Trajektoria optymalna  $y$  (spełniająca zasadę maksimum) na płaszczyźnie stanów może być wówczas opisana następująco [15].

Punkt  $\hat{y} = \hat{y}(t)$  porusza się po trajektorii układu  $Y_\varepsilon$  (6) od punktu początkowego  $y^0 = \hat{y}(t_0)$  do punktu przełączenia  $y^1 = \hat{y}(t_1)$  zakreślając łuk  $y^0y^1$ , który względem punktu  $\mathbf{h}_\varepsilon$  wyznacza kąt  $\beta_1$  ( $0 < \beta_1 = \pi$ );  $t_1 - t_0 = \beta_1/b$ . Dalej sterowanie zmienia znak  $\tilde{u}(t_1) = -\varepsilon$  i punkt  $\hat{y}$  porusza się po trajektorii układu  $Y_{-\varepsilon}$  (6) aż do punktu przełączenia  $y^2 = \hat{y}(t_2)$ , zakreślając łuk  $y^1y^2$ , który względem punktu  $\mathbf{h}_{-\varepsilon}$  wyznacza kąt  $\beta_2 = \pi$ , po czym sterowanie ponownie zmienia znak  $\tilde{u}(t_2) = \varepsilon$ .

W ciągu jednakowych odcinków czasu  $t_2 - t_1 = \dots = t_{k-1} - t_{k-2} = \pi/b$  punkt  $\hat{y}$  porusza się na przemian po trajektoriach układów  $Y_+$  i  $Y_-$  dla kolejnych  $u = +1$  i  $u = -1$ , zakreślając łuki  $y^1y^2, \dots, y^{k-2}y^{k-1}$  i odpowiadające im kąty  $\beta_2 = \dots = \beta_{k-1} = \pi$  względem punktów  $\mathbf{h}_+$  i  $\mathbf{h}_-$ .

Ostatni etap optymalnego ruchu punktu  $\hat{y}$  (kończący się w  $y^k = \hat{y}(t_k) = \mathbf{0}$ ) odbywa się po łuku  $y^{k-1}y^k \subset (-1)^{k-1}W_\varepsilon^0$ , który względem punktu  $(-1)^{k-1}\mathbf{h}_\varepsilon$  wyznacza kąt  $\beta_k$  ( $0 < \beta_k = \pi$ );  $t_k - t_{k-1} = \beta_k/b$ . W ostatnim przedziale czasu  $t_{k-1} = t < t_k$  sterowanie optymalne jest równe  $\tilde{u}(t_{k-1}) = (-1)^{k-1}\varepsilon$ .

Zgodnie z przedstawionym rozważaniem trajektorię optymalną  $\hat{y}$  możemy zapisać jako:

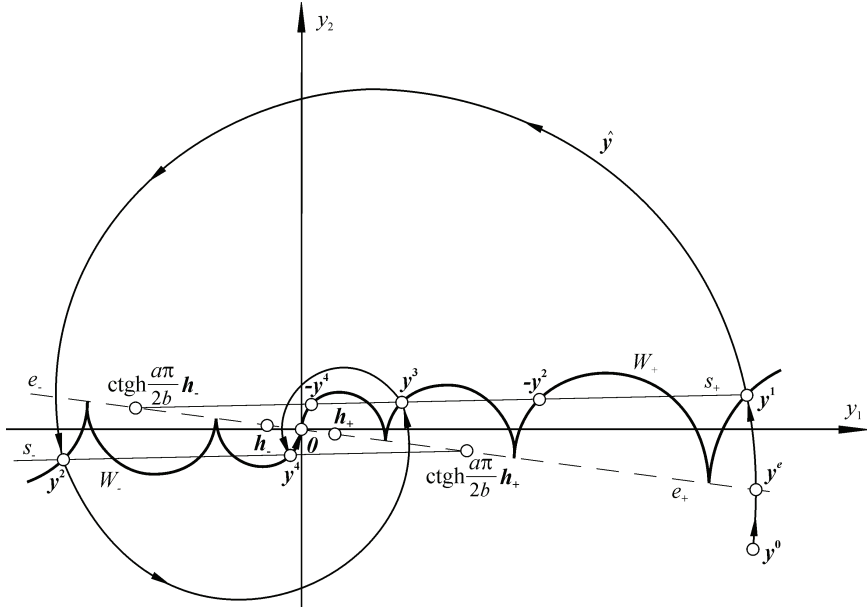
$$\begin{aligned} \hat{y} &= \bigcup_{i=1}^k y^{i-1} y^i \\ y^{i-1} y^i &= \{y = (-1)^{i-1} h_\varepsilon + [y^{i-1} - (-1)^{i-1} h_\varepsilon] e^{(-a+jb)(t-t_{i-1})} \quad t_{i-1} \leq t < t_i\} \end{aligned} \quad (24)$$

gdzie  $b(t_i - t_{i-1}) = \beta_i$ ;  $i = 1, 2, \dots, k$ . Trajektoria  $\hat{y}$  spełnia warunki  $y(t_0) = y^0$  i  $\hat{y}(t_k^-) = y^k = 0$ .

Uwzględniając równości  $t_2 - t_1 = t_3 - t_2 = \dots = t_{k-1} - t_{k-2} = \pi/b$  w równaniu (24) możemy określić punkty  $y^2, y^3, \dots, y^{k-1}$  w zależności od  $y^1$ . Korzystając z przekształceń  $-Q_\varepsilon^{-1}$  i  $Q_{-\varepsilon}^{-1}$  (10), kolejne punkty przełączeń możemy zapisać:  $y^2 = -Q_{-\varepsilon}^{-1}(y^1)$ ,  $y^3 = -Q_\varepsilon^{-1}(y^2)$  itd., a wobec tożsamości  $-Q_\varepsilon^{-1}(y) = Q_{-\varepsilon}^{-1}(-y)$ , dostajemy wzór na kolejne  $y^n$

$$(-1)^{n-1} y^n = Q_{-\varepsilon}^{-(n-1)}(y^1) = e^{\frac{-a\pi(n-1)}{b}} (y^1 - \operatorname{ctgh} \frac{a\pi}{2b} h_\varepsilon) + \operatorname{ctgh} \frac{a\pi}{2b} h_\varepsilon \quad (25)$$

dla  $n = 2, \dots, k-1$ . Tak więc punkty  $y^1, -y^2, y^3, \dots, (-1)^k y^{k-1}$  leżą na jednej prostej (rys. 3).



Rys. 3. Trajektoria optymalna  $y$  dla warunku początkowego  $\hat{y}(t_0) = y^0$  ( $\varepsilon = -1, a > 0, k = 5$ )

Podobnie z równania (24), wyznaczamy zależność  $y^1$  od kąta  $\beta_1 = b(t_1 - t_0)$

$$y^1 = h_\varepsilon + (y^0 - h_\varepsilon) e^{\frac{-a}{b} \beta_1} e^{j\beta_1} \quad (26)$$

Posuwając się wstecz po trajektorii optymalnej  $\hat{y}$  (24), możemy również znaleźć zależność wiążącą  $y^1$  z kątem  $\beta_k = b(t_k - t_{k-1})$ . Punkt  $y^k = \mathbf{0}$  otrzymujemy przez odpowiedni „obrót” punktu  $y^{k-1}$  o kąt  $\beta_k$  wokół punktu  $(-1)^{k-1} \mathbf{h}_e$ , a sam punkt  $y^{k-1}$  zależy od  $y^1$  według wzoru (25) dla  $n = k - 1$ . Stąd otrzymujemy ostatecznie

$$y^1 = Q_{-\varepsilon}^{k-2} [\mathbf{h}_e (e^{\frac{a}{b}\beta_k} e^{-j\beta_k} - 1)] = \mathbf{h}_e [e^{\frac{a}{b}\pi(k-2)} (e^{\frac{a}{b}\beta_k} e^{-j\beta_k} - 1 - \operatorname{ctgh} \frac{a\pi}{2b}) + \operatorname{ctgh} \frac{a\pi}{2b}] \quad (27)$$

Zatem do określenia wszystkich punktów przełączania  $y^1, y^2, \dots, y^{k-1}$  lub wyznaczenia trajektorii optymalnej  $\hat{y}$  wystarczy znaleźć kąty  $\beta_1$  i  $\beta_k$  (ewentualnie czasy  $t_1$  i  $t_k$ ) oraz liczbę  $k$ .

### 3.2. Wyznaczanie momentów przełączania sterowania optymalnego

Zajmiemy się teraz obliczeniem chwil przełączania  $t_1, t_2, \dots, t_k$  sterowania  $u$  (23) w zależności od warunków początkowych  $y^0$  oraz parametrów równania różniczkowego. Czasy przełączeń mogą być wyznaczone równaniami (26) i (27) i zależą pośrednio od liczby przełączeń ( $k - 1$ ), która najprościej może być wyznaczona z nierówności (22).

Z opisu trajektorii optymalnej  $\hat{y}$  wynikają następujące wzory na czasy przełączania:

$$\begin{aligned} t_1 &= t_0 + \frac{\beta_1}{b} \quad (0 < \beta_1 \leq \pi) \\ t_i &= t_1 + (i-1) \frac{\pi}{b} \quad (i = 2, \dots, k-1) \\ t_k &= t_{k-1} + \frac{\beta_k}{b} \quad (0 < \beta_k \leq \pi) \end{aligned} \quad (28)$$

Wobec zależności (18) i (28) zagadnienie syntezy sterowania  $u$  (23) sprowadza się do wyznaczenia kątów  $\beta_1$  i  $\beta_k$  oraz liczby przełączeń ( $k - 1$ ).

W przypadku  $y^0 \in W_1^0(9)$ , czyli  $k = 1$ , kąt  $\beta_1$  możemy wyznaczyć z zależności (26):

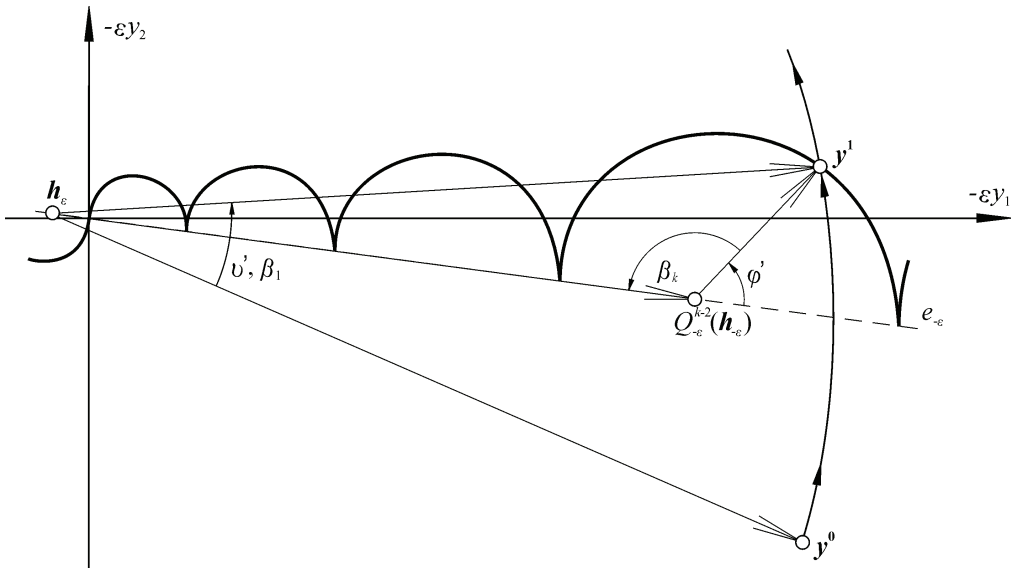
$$\beta_1 = \arg \frac{1}{z^0} = \frac{b}{a} \ln |z^0|, \quad z^0 = 1 - \frac{y^0}{\mathbf{h}_e} \quad (29)$$

Załóżmy dalej, że  $y^0 \notin W_\varepsilon^0$ , czyli nie zachodzą równości (29) i  $k > 1$ . Celem znalezienia zależności między kątami  $\beta_1$  i  $\beta_k$  oraz liczbą  $k$ , znajdźmy punkt  $y^1$  przecięcia trajektorii  $y(t_0^+)y(t_0 + \pi/b)$  systemu  $Y_1$  (6) z łukiem  $W_{-\varepsilon}^{k-2} = Q_{-1}^{k-2}(W_{-\varepsilon}^0)$  (11) (rys. 4):

$$\begin{aligned} y^1 &= y(t_0^+)y(t_0 + \pi/b) \cap W_{-\varepsilon}^{k-2} \\ y^0 y^1 \setminus \{y^0\} &\subset y(t_0^+)y(t_0 + \pi/b) = \{y = \mathbf{h}_e + (y^0 - \mathbf{h}_e) e^{\frac{-a}{b}v} e^{j\omega} : 0 < v \leq \pi\} \\ W_{-\varepsilon}^{k-2} &= \{y = e^{\frac{a}{b}\pi(k-2)} [-\mathbf{h}_e (1 + e^{\frac{-a}{b}(\varphi-\pi)} e^{j\varphi}) - \operatorname{ctgh} \frac{a\pi}{2b} \mathbf{h}_e] + \operatorname{ctgh} \frac{a\pi}{2b} \mathbf{h}_e : 0 \leq \varphi < \pi\} \end{aligned} \quad (30)$$

Zapiszmy łuk trajektorii i łuk krzywej przełączania z zależności (30) w postaci:

$$\begin{aligned} \mathbf{y} - \mathbf{h}_\varepsilon &= (\mathbf{y}^0 - \mathbf{h}_\varepsilon) e^{\frac{-a}{b}v} e^{j\varphi} : 0 < v \leq \pi \\ \mathbf{y} - \mathbf{h}_\varepsilon &= -\mathbf{h}_\varepsilon \left( e^{\frac{a}{b}\pi(k-1)} e^{\frac{-a}{b}\varphi} e^{j\varphi} + 2 \frac{e^{\frac{a}{b}\pi(k-1)} - 1}{e^{\frac{a}{b}\pi} - 1} \right) : 0 \leq \varphi < \pi \end{aligned} \quad (31)$$



Rys. 4. Punkt  $y^1$  przecięcia trajektorii  $y(t_0^+)y(t_0 + \pi/b)$  systemu  $Y_\varepsilon$  z łukiem  $W_{-\varepsilon}^{k-2}$  ( $a > 0$ ,  $k = 5$ )

Prawe strony równań (31) definiują dwa wektory  $[\mathbf{h}_\varepsilon, \mathbf{y}(v)]$  i  $[\mathbf{h}_\varepsilon, \mathbf{y}(\varphi)]$  (o długościach zależnych od kątów  $v$  i  $\varphi$ ), które pokrywają się, tworząc wektor  $[\mathbf{h}_\varepsilon, \mathbf{y}^1]$  dla pewnych wartości  $v = v'$  i  $\varphi = \varphi'$ , co możemy zinterpretować graficznie na płaszczyźnie stanów jako utworzenie przez układ trzech wektorów trójkąta (rys. 4)

$$\overline{\mathbf{h}_\varepsilon \mathbf{y}^1} = \overline{\mathbf{h}_\varepsilon \mathbf{Q}_{-\varepsilon}^{k-2}(\mathbf{h}_\varepsilon)} + \overline{\mathbf{Q}_{-\varepsilon}^{k-2}(\mathbf{h}_\varepsilon) \mathbf{y}^1} \quad (32)$$

Zauważmy następnie, że  $v' = \beta_1$  (26) i  $\varphi' = \pi - \beta_k$  (27).

Uwzględniając te równości w (31), dostajemy następujące równanie wiążące katy  $\beta_1$ ,  $\beta_k$  i liczbę  $k$ :

$$\begin{aligned}
 & (1 - \frac{\mathbf{y}^0}{h_e}) e^{\frac{-a}{b}\pi(k-2)} e^{\frac{-a}{b}\beta_1} e^{j\beta_1} - e^{\frac{a}{b}\beta_k} e^{j(\pi-\beta_k)} = A \\
 & A(\frac{a\pi}{2b}, k) = 2(1 + e^{\frac{-a}{b}\pi} + \dots + e^{\frac{-a}{b}\pi(k-2)}) = \\
 & = 2 \frac{1 - e^{\frac{-a}{b}\pi(k-1)}}{1 - e^{\frac{-a}{b}\pi}} = 2 e^{\frac{-a\pi}{2b}(k-2)} \frac{\sinh \frac{a\pi}{2b}(k-1)}{\sinh \frac{a\pi}{2b}}
 \end{aligned} \tag{33}$$

gdzie  $0 < \beta_1 \leq \pi$  i  $0 < \beta_k \leq \pi$ .

Z równania (33) dostajemy równanie podwójne:

$$\begin{aligned}
 \beta_1 = f_1(\beta_k) = f_2(\beta_k), \quad z^0 = 1 - \frac{\mathbf{y}^0}{h_e} \\
 f_1(\alpha) = \arg(\frac{1}{z^0}) + \operatorname{arcctg} \frac{A e^{\frac{-a}{b}\alpha} - \cos \alpha}{\sin \alpha}, \quad f_1(\pi) = \arg(\frac{1}{z^0}) \\
 f_2(\alpha) = \frac{b}{a} \ln \frac{|z^0|}{\sqrt{\frac{a}{e^b} - 2A e^{\frac{-a}{b}\alpha} \cos \alpha + A^2}} - (k-2)\pi
 \end{aligned} \tag{34}$$

gdzie funkcje  $f_1(\alpha)$  i  $f_2(\alpha)$  są zdefiniowane dla  $0 < \alpha = \pi$  oraz  $A$  dane jest wzorem (33). Można się spodziewać, że równanie (34) jednoznacznie określa katy  $\beta_1$  i  $\beta_k$  oraz liczbę  $k$ . Aby to wykazać, rozważmy w dziedzinie  $0 < \alpha \leq \pi$  funkcję

$$g(\alpha) = f_1(\alpha) - f_2(\alpha) \tag{35}$$

Oczywiście miejsce zerowe funkcji  $g(\alpha)$  (35) jest równe  $\beta_k$  dla pewnego  $k$  (34). Pochodna

$$\frac{dg}{d\alpha} = \frac{A(\frac{a}{b} + \frac{b}{a}) e^{\frac{-a}{b}\alpha} \sin \alpha}{A^2 e^{\frac{-a}{b}2\alpha} - 2A e^{\frac{-a}{b}\alpha} \cos \alpha + 1} \tag{36}$$

ma stały znak  $\operatorname{sgn} \dot{g}(\alpha) = \operatorname{sgn} \alpha$  w przedziale  $0 < \alpha < \pi$ .

Wynika stąd, że funkcja  $g(\alpha)$  jest monotoniczna w przedziale  $0 < \alpha \leq \pi$ , a ponieważ jest również ciągła, więc równanie  $g(\alpha) = 0$  ma dokładnie jeden pierwiastek w przedziale  $0 < \alpha \leq \pi$  (oczywiście równy  $\beta_k$ ), jeżeli zachodzą nierówności:

$$a \cdot g(0^+) < 0 \quad \text{i} \quad a \cdot g(\pi) \geq 0 \quad (37)$$

Nierówności te prowadzą do nierówności podwójnej

$$k - 1 < 1 + \frac{b}{a\pi} \ln[1 + (\left|z^0\right| e^{\frac{-a}{b} \arg \frac{1}{z^0}} - 1) \tgh \frac{a\pi}{2b}] \leq k \quad (38)$$

gdzie  $z^0 = 1 - y^0/h_e$ .

Stąd liczba przełączeń jest wyznaczona jednoznacznie i wynosi

$$k - 1 = \left\lceil \frac{2b}{a\pi} \ln \sqrt{1 + \frac{y^e}{h_e} \tgh \frac{a\pi}{2b}} \right\rceil \quad (39)$$

gdzie  $y^e/h_e \geq 0$  dane jest wzorem (20), a  $\lceil l \rceil$  oznacza najmniejszą liczbę całkowitą, która jest większa bądź równa  $l$  ( $l \in \mathbf{R}$ ). Zauważmy, że wzór (39) jest również słuszny dla punktu początkowego  $y^0 \in W_e^0(9)$ , w którym zachodzi równość (29) ( $y^e/h_e = 0$ ), czyli dla  $k = 1$ .

### 3.3. Przypadek systemu oscylacyjnego bez tłumienia

Jeżeli współczynnik tłumienia  $a = 0$ , odpowiednie wzory wyprowadzone dla  $a \neq 0$  należy zmodyfikować. Wszystkie wzory znalezione dla  $a \neq 0$  są również prawdziwe w granicy, gdy parametr  $a \rightarrow 0$ . W szczególności równanie (33), gdy  $a \rightarrow 0$ , przyjmie postać:

$$(1 - \frac{y^0}{h_e}) e^{j\beta_1} - e^{j(\pi - \beta_k)} = A, \quad A = \lim_{a \rightarrow 0} A(\frac{a\pi}{2b}, k) = 2(k - 1) \quad (40)$$

W przypadku  $k > 1$  z równania (40) możemy znaleźć jawnie wzory na kąty  $\beta_1$  i  $\beta_k$ :

$$\beta_1 = \arg \frac{1}{z^0} + \arccos \frac{A^2 - 1 + |z^0|^2}{2A|z^0|}, \quad \beta_k = \arccos \frac{A^2 + 1 - |z^0|^2}{2A} \quad (41)$$

gdzie  $z^0 = 1 - y^0/h_e$  i  $A = 2(k - 1)$  (40).

Liczbę  $k$  możemy wyznaczyć ze wzoru (39) dla  $a \rightarrow 0$  lub z równania (41) na kąt  $0 < \beta_k \leq \pi$ , które przepiszmy w postaci:

$$\cos \beta_k = 1 - \frac{|z^0|^2 - (A-1)^2}{2A} = \frac{(A+1)^2 - |z^0|^2}{2A} - 1 \quad (42)$$

Ponieważ  $-1 \leq \cos \beta_k < 1$ , więc z (42) widać, że  $A-1 < |z^0| \leq A+1$ . Stąd i z (40) mamy:

$$k-1 < \frac{1}{2}(1 + |z^0|) \leq k \quad (43)$$

gdzie  $z^0 = 1 - y^0/h_{\epsilon}$ .

Ostatecznie w przypadku parametru  $a = 0$  liczba przełączeń

$$k-1 = \left\lceil \frac{1}{2} \frac{y^e}{h_{-\epsilon}} \right\rceil \quad (44)$$

gdzie  $y^e/h_{-\epsilon} = |1 - y^0/h_{\epsilon}| - 1$  (20). Wzór (43) pozostaje słuszny dla warunku początkowego  $y^0 \in W_{\epsilon}^0(9)$ , w którym zachodzi równość  $|1 - y^0/h_{\epsilon}| = 1$  ( $y^e/h_{-\epsilon} = 0$ ), czyli dla  $k = 1$ .

Na koniec odnotujmy, że minimalny czas  $T$  potrzebny do przeprowadzenia układu do stanu końcowego **0** jest równy (28)

$$T = t_k - t_0 = \frac{\beta_1 + (k-2)\pi + \beta_k}{b} \quad (45)$$

gdzie kąty  $\beta_1$  i  $\beta_k$  są określone przez (34) lub (41), a liczba  $k$  – przez (39) lub (44).

#### 4. Podsumowanie

W artykule przedstawiono syntezę czasooptymalnego regulatora i sterowania dla systemu oscylacyjnego liniowego drugiego rzędu. Wyznaczono wzór na liczbę przełączeń w funkcji warunków początkowych oraz parametrów równania różniczkowego. Podano zależności analityczne pozwalające na obliczenie czasów przełączeń sterowania czasooptymalnego.

Zawarte w pracy rozważania można bezpośrednio uogólnić na układy oscylacyjne liniowe drugiego rzędu przy sterowaniu dwu- i więcej wymiarowym. Jednak liczba przypadków, gdzie dynamika obiektu może być modelowana równaniem (1), jest bardzo ograniczona. Jednym ze znanych zastosowań jest sterowanie silników odrzutowych [1].

### Literatura

- [1] Athans M., Falb P.L.: *Optimal Control*. New York, McGraw-Hill 1966
- [2] Bołtiański W.G.: *Matematyczne metody sterowania optymalnego*. Warszawa, WNT 1971
- [3] Bryson A.E., Ho Y.C.: *Applied Optimal Control*. Washington DC, Hemisphere 1975
- [4] Bryson A.E. Jr.: *Dynamic Optimization*. Addison-Wesley, 1999
- [5] Fattorini H.O.: *Infinite dimensional optimization and control theory*. Cambridge University Press, United Kingdom, 1999
- [6] Górecki H., Turowicz A.: *On switching instants in multidimensional minimum-time control problems*. Bull. Acad. Sci., Ser. Sci. Techn., vol. 16, No 8, 1968, s. 691–698
- [7] Górecki H.: *Optymalizacja systemów dynamicznych*. Warszawa, WN PWN 1993
- [8] Hejmo W.: *Sterowanie układami nieliniowymi*. Kraków, UWND AGH 2003
- [9] Kaczorek T.: *Teoria sterowania i systemów*. Warszawa , WN PWN 1999
- [10] Leitmann G.: *An Introduction to Optimal Control*. New York, McGraw-Hill 1966
- [11] Markus L., Lee E.B.: *Foundations of Optimal Control Theory*. New York, Wiley
- [12] Mitkowski W. 1991: *Stabilizacja systemów dynamicznych*. Warszawa, WNT 1967
- [13] Ogata K.: *State space analysis of control systems*. Englewood Cliffs, New Jersey, Prentice-Hall, Inc. USA 1967
- [14] Pesch H.J.: *A practical guide to the solution of real-life optimal control problems*. Control and Cybernetics, vol. 23, No 1–2, 1994, 7–60
- [15] Ślusarczyk A., Kwiczala A.: *Synteza regulatora minimalnocoszowego w oscylacyjnych systemach liniowych drugiego rzędu*. Warszawa, PAK, Nr 11, 2005, 21–24
- [16] Turnau A.: *Sterowanie docelowe układami nieliniowymi w czasie rzeczywistym – algorytmy inteligentne i optymalno-czasowe*. Kraków, UWND AGH 2002
- [17] Wierzbicki A.: *Modele i wrażliwość układów sterowania*. Warszawa, WNT 1977